

تحلیل ساختارهای کدینگ شبکه برون جریانی

برای شبکه های بی سیم خطادار

علیرضا شفیعی نژاد، فرامرز هندسی و مجتبی مهدوی

استادیار دانشکده مهندسی برق و کامپیوتر، دانشگاه تربیت مدرس، shafiein@gmail.com
دانشیار دانشکده مهندسی برق و کامپیوتر، دانشگاه صنعتی اصفهان، hendessi@cc.iut.ac.ir
استادیار دانشکده مهندسی کامپیوتر، دانشگاه اصفهان، m.mahdavi@eng.ui.ac.ir

چکیده:

ویژگی همه پخش رسانی بی سیم باعث افزایش تداخل فرکانسی بین گره های مجاور شده و در نتیجه موجب نرخ گذردهی کمتر در مقایسه با شبکه های سیمی می شود. یک رویکرد مهم برای بهبود ظرفیت در این شبکه ها، کدینگ شبکه برون جریانی است که بسته های متعلق به نشستهای متفاوت را با یکدیگر ترکیب کرده و اطلاعات بیشتری را در قالب بسته های کد شده در لینکهای گلوگاه شبکه ارسال می کند. در این مقاله کدینگ شبکه با وجود یک MAC غیر ایده آل (لینکهای خطادار) مورد توجه قرار گرفته است. هدف از این کار بررسی حساسیت کدینگ به کیفیت ارسال لینکهاست. در واقع با اینکه فرآیند کدینگ تعداد ارسالها را کاهش می دهد اما به طور شهودی به نظر می رسد که حساسیت گره ها را نسبت به گم شدن بسته ها افزایش دهد زیرا بسته های کد شده حاوی اطلاعات بیشتری نسبت به بسته های معمول هستند. نتایج ارزیابی نشان می دهد که بعضی از ساختارهای کدینگ نظیر آلیس-باب در حالت خطادار بودن شبکه هم از مسیریابی معمول عملکرد بهتری دارند. اما در مورد دیگر ساختارها مشخص شد که کدینگ برای خطای پایین تر از 0.1 عملکرد بهتری از مسیریابی دارد و در حالت خطای بالا عملکرد مسیریابی استاندارد بهتر از کدینگ است.

کلمات کلیدی

کدینگ شبکه، ساختارهای کدینگ، شبکه ی بی سیم خطادار، مسیریابی و کدینگ

۱- مقدمه

در [۴] تحلیلی از میزان بهبود تاخیر شبکه در نتیجه استفاده از کدینگ شبکه برای ارسالهای تک پخش ارائه شده است. به لحاظ بهبود ظرفیت شبکه در [۵] چارچوبی تئوری در قالب یک سیستم خطی برای محاسبه کران بالایی بهبود حاصل از کدینگ شبکه (ساختارهای دو گامی COPE) ارائه شده است. مدل کانال در این دو تحلیل خطادار (packet erasure) فرض شده است. در این مقاله، ما مدلی واقعی تر برای MAC در نظر گرفته و سعی داریم نشان دهیم که حتی با داشتن یک MAC واقعی نظیر IEEE 802.11 کدینگ شبکه می تواند موجب بهبود در نرخ گذردهی شود. در این مدل ارسالها مطمئن فرض نشده اند و برای هر لینک خطایی در ارسال نظر گرفته شده است. هدف از این کار بررسی حساسیت کدینگ به کیفیت ارسال لینکهاست. در واقع با اینکه فرآیند کدینگ تعداد ارسالها را کاهش می دهد اما به طور شهودی به نظر می رسد که حساسیت گره ها را نسبت به گم شدن بسته ها افزایش دهد زیرا بسته های کد شده حاوی اطلاعات بیشتری نسبت به

مفهوم کدینگ شبکه ابتدا در [۱] و برای ترافیک چندپخش معرفی شد. برای ترافیک تک پخش در کار برجسته ی [۲]، الگوریتم کدینگ مبتنی بر XOR بسته های داده به نام COPE معرفی و پیاده سازی شده است. در ادامه تحقیقات سعی شده است که مسیریابی نیز به مسأله ی کدینگ شبکه وارد شود. به عنوان مثال در [۳] مسیریابی تک پخش کدینگ آگاه^{*} پیشنهاد شده است که اشاره به انتخاب مسیریابی دارد که فرصت های کدینگ بیشتری را فراهم می آورد. اکثر مسائل بهینه سازی کدینگ مبتنی بر یک MAC ایده آل بنا شده اند. اول اینکه تمامی ارسالها با موفقیت انجام می شوند و ثانیاً اینکه زمانبندی برای دسترسی به رسانه به صورت عادلانه انجام می گیرد.

* Coding-aware routing

بسته‌های معمول هستند. از طرف دیگر در کدینگ مبتنی بر شنود، علاوه بر لزوم دریافت بسته‌های کد شده، هر گره نیاز دارد تعدادی از بسته‌های ارسالی همسایگانش را شنود نماید تا قادر به کدگشایی باشد. از اینرو علاوه بر ارسال‌های تک‌پخشی معمول، ارسال‌های همه‌پخشی و شنود فرصت‌طلبانه نیز در زمره‌ی ارسال‌های نامطمئن قرار گرفته و عدم دریافت بسته از طریق آنها نیز در قالب پارامترهایی مجزا مدلسازی شده‌اند.

در این نوشتار، تحلیلی بر اساس دو معیار میزان گم شدن بسته‌ها و نرخ گذردهی در ساختارهای کدینگ انجام شده است. در این تحلیل هر دو کدینگ COPE و ستاره لحاظ شده و کارایی آنها با مسیریابی معمول مقایسه می‌گردد. انتظاری که از نتایج این تحلیل داریم این است که مشخص کند که کارایی کدینگ (بر اساس این دو معیار) نسبت به میزان خطا در سیستم چگونه تغییر می‌کند و در چه شرایطی کدینگ عملکرد بهتری ارائه می‌کند.

نوآوریهای این مقاله را میتوان در موارد زیر برشمرد:

۱. تحلیل ساختارهای کدینگ COPE با فرض ارسال و شنود نامطمئن

تعمیم تحلیل به ساختارهای کدینگ ستاره [۶]

۲. انجام تحلیل با و بدون لحاظ کردن مکانیزم بازفرستادن MAC

بنابراین تحلیل ما نسبت به [۵] در این است که اولاً علاوه بر کدینگ COPE کدینگ ستاره نیز لحاظ می‌شود و ثانیاً حالت بدون بازفرستادن را نیز شامل می‌شود.

در این مقاله، در بخش دوم به تحلیل ساختارهای کدینگ بدون در نظر گرفتن مکانیزم بازفرستادن پرداخته شده است. در بخش سوم این تحلیل با لحاظ شدن مکانیزم بازفرستادن MAC تکرار می‌شود. بخش چهارم اختصاص به ارزیابی نتایج این تحلیل‌ها دارد. بخش آخر نیز به نتیجه‌گیری از مقاله پرداخته شده‌است.

۲- کدینگ شبکه بدون لحاظ مکانیزم بازفرستادن

با اینکه کدینگ شبکه تعداد ارسال‌ها را کاهش می‌دهد اما حساسیت گره‌ها را به گم شدن بسته‌ها زیاد می‌کند. در واقع هر گاه یک گره بسته‌ای را با موفقیت شنود نکند، قادر به کدگشایی بسته کد شده‌ی شامل آن نخواهد بود. این عدم شنود می‌تواند در ساختارهای ستاره بر کدگشایی دیگر گره‌ها نیز تأثیر منفی بگذارد. در این بخش سعی داریم تحلیل بهره‌ی کدینگ ساختارهای ستاره و COPE را در حالت لینک خطا دار (کانال‌های غیرایده‌آل) انجام دهیم. فرض شده است که کانال مدل erasure با نرخ گم شدن γ بسته را در هر ارسال دارد. به عبارت دیگر بسته‌ی ارسالی روی هر لینک با احتمال $1 - \gamma$ به دست گره بعدی می‌رسد.

۲-۱ تعاریف، نمادها و فرضیات مدلسازی

از آنجا که در فرآیند کدینگ ستاره علاوه بر دریافت‌های تک‌پخشی، دریافت‌هایی نیز به صورت همه‌پخشی و شنود فرصت‌طلبانه وجود دارد. علاوه بر γ دو پارامتر γ_B و μ نیز در نظر گرفته شده‌اند که به ترتیب احتمال از دست رفتن بسته در جریان دریافت همه‌پخشی و شنود را نشان می‌دهند. ما تحلیل خود را بر اساس دو معیار متوسط تعداد بسته‌های گم شده و متوسط نرخ گذردهی انجام می‌دهیم. این معیارها در حالت ساده تنها برای شبکه‌ای متشکل از یک ساختار کدینگ COPE یا ستاره انجام شده و با رویکرد بدون کدینگ (مسیریابی معمول) مقایسه شده است.

در این تحلیل‌ها N_L نشان‌دهنده‌ی تعداد بسته‌هایی است که از هنگام ورود به ساختار تا هنگام خروج از آن گم می‌شوند. همچنین T نمایانگر نرخ گذردهی ساختار (بر اساس بسته) است که برابر است با تعداد بسته‌هایی است که در واحد زمان به صورت موفق از ساختار به گره‌های بیرونی انتقال می‌یابند. برای سادگی فرض شده است که بسته‌ها اندازه‌ی یکسان داشته و انتقال هر بسته به گره بعدی یک واحد زمانی (slot) طول می‌کشد. همچنین n نشان دهنده‌ی تعداد نشست‌های تک‌پخشی است که همدیگر را در یک ساختار کدینگ قطع کرده‌اند. از آنجا که برای هر نشست، یک بسته در نظر می‌گیریم، n معرف تعداد بسته‌ها موجود نیز خواهد بود.

در جریان تحلیل نماد $N_{S_1, D_1, S_2, D_2, \dots, S_i, D_i}$ برای نمایش تعداد بسته‌های گم شده در مسیرهای S_1 به D_1 ، S_2 به D_2 تا S_i به D_i به کار می‌رود. همچنین $\bar{N}_{S_1, S_2, \dots, S_i}$ نشان‌دهنده‌ی تعداد بسته‌هایی است که شنودشان توسط گره‌های S_1 تا S_i ناموفق بوده است. با این نمادگذاری احتمال اینکه برابری متغیر تصادفی N_L با یک مقدار مشخص را می‌توان بر اساس یک مجموعه از رویدادهای دوبه دو ناسازگار بیان کرد. این رویدادها با متغیرهای تصادفی $N_{S_1, D_1, S_2, D_2, \dots, S_i, D_i}$ و $\bar{N}_{S_1, S_2, \dots, S_i}$ قابل بیان هستند.

۲-۲ تحلیل مسیریابی معمول

در مسیریابی استاندارد هر بسته مسیری شامل چندین گام (hop) را طی می‌کند. فرض کنید بسته‌ای نظیر P_1 مسیری شامل m گام را می‌پیماید. اگر γ_m نشان‌دهنده‌ی نرخ گم شدن P_1 در این مسیر باشد، داریم:

$$\gamma_m = 1 - (1 - \gamma)^m \quad (۱)$$

۲-۳ مسیرهای شامل ۲ گام

در این حالت هر بسته از هر نشست می‌بایست مسیری به طول دو گام را طی کند. بنابراین بسته‌ی P_i می‌تواند در ارسال از طرف گره ورودی یا گره میانی گم شود. بنابراین:

$$P(P_i \text{ is lost}) = \gamma_2 \quad 1 \leq i \leq n \quad (۲)$$

با در نظر گرفتن تمامی نشست‌ها و احتمال گم شدن بسته‌ی مربوط به هر کدام از آنها، N_L متغیری تصادفی با توزیع دوجمله‌ای $B(n, \gamma_2)$ خواهد داشت. در نتیجه:

$$P(N_L = i) = \binom{n}{i} \gamma_2^i (1 - \gamma_2)^{n-i} \quad (۳)$$

بنابراین متوسط N_L نیز از روش زیر به دست خواهد آمد:

$$E(N_L) = \sum_{i=1}^n P(P_i \text{ is lost}) \times i = n\gamma_2 \quad (۴)$$

نرخ گذردهی ساختار نیز با توجه به الگوریتم زمانبندی MAC مشخص می‌شود. از آنجا که تمامی لینک‌های ساختار در حوزه‌ی تداخل یکدیگر هستند بنابراین ارسال موفق هر n بسته به بیرون از ساختار $2n$ واحد زمانی طول می‌کشد. در حالتی که بسته‌هایی در مرحله‌ی اول ارسال (از گره ورودی به گره میانی) گم می‌شوند این زمان کاهش می‌یابد. بنابراین کافی است برای محاسبه‌ی نرخ گذردهی، همه‌ی رویدادهای گم شدن در گام اول یا دوم را در نظر بگیریم. فرض کنید N_{L_1} و N_{L_2} به ترتیب نشان‌دهنده‌ی تعداد بسته‌هایی باشند که در ارسال‌های انجام شده از گره‌های ورودی و گره‌های مرکزی گم می‌شوند.

با در نظر گرفتن همه‌ی حالات ممکن، برای این دو متغیر، می‌توان نوشت:

حاصل را به صورت همه‌بخشی به گره های خروجی می‌فرستد. از آنجا که سناریوی کدینگ تعویض بسته‌هاست، هر کدام از گره های خروجی در صورت دریافت صحیح بسته‌ی کد شده، بسته‌ی خود را به سادگی بازیابی خواهند نمود. در مجموع دو دریافت تک‌بخشی و دو دریافت همه‌بخشی در ساختار وجود دارد. در صورت عدم دریافت ارسالهای تک‌بخشی توسط گره مرکزی فرصت کدینگ از دست می‌رود. همچنین عدم دریافت ارسال همه‌بخشی در یک گره خروجی، کدگشایی را ناممکن می‌کند. براساس وضعیت هر کدام از این دریافت‌ها، الگوریتم کدینگ وضعیتی متفاوت خواهد داشت.

این حالات در شش رویداد دو بدو ناسازگار مطابق جدول ۱ قابل بیان هستند. هر کدام از رویدادها (e_1 تا e_6) بر اساس متغیرهای تصادفی $N_{S_1, M, S_2, M}$ و N_{M, D_1, M, D_2} قابل بیان هستند.

به عنوان مثال e_1 به رویدادی اشاره دارد که همه دریافت‌ها با موفقیت همراه هستند. همچنین e_2 متناظر با حالتی است که گره مرکزی ارسالهای تک-بخشی را دریافت کرده و بسته‌ی کد شده را تولید و به صورت همه‌بخشی ارسال کرده است. اما تنها یکی از گره ها این بسته را دریافت کرده است. رویداد e_3 به حالتی اشاره دارد که گره مرکزی تنها یکی از ارسالهای تک-بخشی را با موفقیت گرفته است، ازاینرو قادر به کدگذاری نبوده و بسته‌ی دریافتی را به صورت کد نشده به گره بعدی می‌رساند. در واقع فرصت کدینگ از دست می‌رود و بسته‌ی باقی مانده بر اساس مسیریابی معمول عبور داده می‌شود. احتمال هر رویداد بر اساس پارامترهای γ و γ_B بیان شده است. با این اوصاف می‌توانیم متوسط N_L را به صورت زیر محاسبه کنیم:

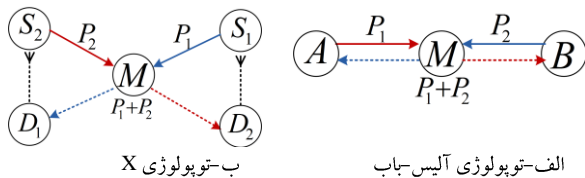
$$E(N_L) = \sum_{i=0}^2 i \cdot P(N_L = i) = \sum_{i=2}^3 P(e_i) + \frac{1}{2} \sum_{i=4}^6 P(e_i) \quad (10)$$

همچنین برای نرخ گذردهی ساختار می‌توان نوشت:

$$E(T) = \sum_1^3 e_i \cdot E(T|e_i) = (1 - \gamma)^2 \cdot (1 - \gamma_B)^2 \frac{2}{3} + (1 - \gamma)^2 \cdot 2\gamma_B (1 - \gamma_B) \frac{1}{3} + 2\gamma(1 - \gamma) \cdot (1 - \gamma) \frac{1}{3} \quad (11)$$

۴ ۳ ۲ - تحلیل توپولوژی X از کدینگ COPE

توپولوژی X (شکل ۲-ب) از ساختارهای COPE، کدینگی دو مرحله‌ای و مبتنی بر شنود است. گره های ورودی بسته‌های خود را بدون هیچ‌گونه تغییری به گره مرکزی ساختار ارسال می‌کنند. گره مرکزی نیز فرصت کدینگ را تشخیص داده، تصمیم به کد کردن بسته‌های دو نشست گرفته و بسته‌ی حاصل را به صورت همه‌بخشی به گره های خروجی می‌فرستد. گره های خروجی نیز با استفاده از بسته‌های شنود شده بسته‌ی مورد نظر خود را بازیابی می‌کنند.



شکل ۱) ساختارهای مورد تحلیل کدینگ COPE

بنابراین علاوه بر دریافت صحیح ارسالهای تک‌بخشی و همه‌بخشی، لازم است گره های خروجی بسته‌های ارسال گره های ورودی را با موفقیت شنود کنند تا کدگشایی میسر باشد. بر اساس وضعیت ارسالهای تک‌بخشی و همه-

$$E(T) = \sum_{i=0}^n \sum_{j=0}^{n-i} P(N_{L_1} = i, N_{L_1} = j) \cdot E(T|N_{L_1} = i, N_{L_1} = j) = \sum_{i=0}^n \sum_{j=0}^{n-i} \binom{n}{i} \gamma^i (1 - \gamma)^{n-i} \cdot \binom{n-i}{j} \gamma^j (1 - \gamma)^{n-i-j} \cdot \frac{n!}{i!j!(n-i-j)!} \gamma^{i+j} (1 - \gamma)^{2n-2i-j} \cdot \frac{n-i-j}{2n-i} \quad (5)$$

۴ ۴ ۲ - مسیرهای شامل ۳ گام

به روش مشابه، می‌توانیم محاسبات مربوط به مسیریابی n نشست تک‌بخشی سه گامی را تکرار کنیم. در هر یک از مسیرها، بسته‌ی P_i می‌تواند در ارسال از طرف گره ورودی، گره میانی یا گره خروجی گم شود. بنابراین:

$$P(P_i \text{ is lost}) = \gamma_3 \quad 1 \leq i \leq 3 \quad (6)$$

با در نظر گرفتن تمامی نشست‌ها، N_L متغیری تصادفی با توزیع دوجمله‌ای $B(n, \gamma_3)$ خواهد داشت. در نتیجه:

$$P(N_L = i) = \binom{3}{i} \gamma_3^i (1 - \gamma_3)^{3-i}$$

متوسط N_L نیز از روش زیر به دست خواهد آمد:

$$E(N_L) = \sum_{i=1}^3 P(P_i \text{ is lost}) \times 1 = n\gamma_3 \quad (7)$$

نرخ گذردهی ساختار نیز با توجه به الگوریتم زمانبندی MAC مشخص می‌شود. با فرض آنکه تمامی لینک‌های ساختار در حوزه‌ی تداخل یکدیگر هستند بنابراین ارسال موفق هر n بسته به بیرون از ساختار، نیاز به $3n$ واحد زمانی خواهد داشت. در حالتی که بسته‌هایی گم می‌شوند این زمان کاهش می‌یابد. فرض کنید N_{L_1} ، N_{L_2} و N_{L_3} به ترتیب نشان‌دهنده‌ی تعداد بسته‌هایی باشند که در ارسالهای انجام گرفته از گره های ورودی، گره مرکزی و گره های خروجی گم می‌شوند. بنابراین کافی است برای محاسبه‌ی نرخ گذردهی همه‌ی رویدادهای گم شدن را به صورت زیر در نظر بگیریم:

$$E(T) = \sum_{i=0}^n \sum_{j=0}^{n-i} \sum_{k=0}^{n-i-j} P(N_{L_1} = i, N_{L_2} = j, N_{L_3} = k) \cdot E(T|N_{L_1} = i, N_{L_2} = j, N_{L_3} = k) = \sum_{i=0}^n \sum_{j=0}^{n-i} \sum_{k=0}^{n-i-j} \binom{n}{i} \gamma^i (1 - \gamma)^{n-i} \cdot \binom{n-i}{j} \gamma^j (1 - \gamma)^{n-i-j} \cdot \binom{n-i-j}{k} \gamma^k (1 - \gamma)^{n-i-j-k} \cdot \frac{n-i-j-k}{3n-2i-j} \quad (8)$$

بنابراین:

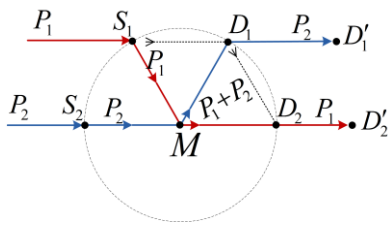
$$E(T) = \sum_{i=0}^n \sum_{j=0}^{n-i} \sum_{k=0}^{n-i-j} \frac{n!}{i!j!k!(n-i-j-k)!} \gamma^{i+j+k} (1 - \gamma)^{3n-3i-2j-k} \cdot \frac{n-i-j-k}{3n-2i-j} \quad (9)$$

۴ ۲ - تأثیر دریافت‌های ناموفق در حالت مسیریابی همراه با کدینگ

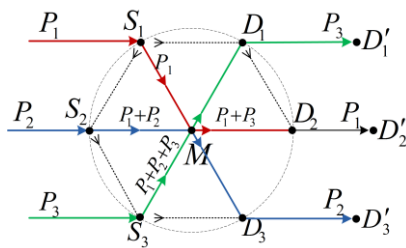
۴ ۳ ۲ - تحلیل ساختار آلیس-باب از کدینگ COPE

توپولوژی آلیس-باب (شکل ۱-ب) همانند دیگر ساختارهای COPE، کدینگی دو مرحله‌ای است. گره های ورودی بسته‌های خود را بدون هیچ‌گونه تغییری به گره مرکزی ساختار ارسال می‌کنند. گره مرکزی نیز فرصت کدینگ را تشخیص داده، تصمیم به کد کردن بسته‌های دو نشست گرفته و بسته‌ی

$$E(T) = \sum_{i=1}^3 P(e_i) \cdot E(T|e_i) = (1 - \gamma)^2 \cdot x_D^2 \frac{2}{3} + (1 - \gamma)^2 \cdot x_D(1 - x_D) \frac{1}{3} + 2\gamma(1 - \gamma)^2 \frac{1}{3} \quad (15)$$



الف) کدینگ ستاره‌ی جزئی با اندازه‌ی ۲



ب) کدینگ ستاره‌ی کامل با اندازه‌ی ۳ و جایگشت هدف (3,1,2)

شکل ۲) ساختارهای مورد تحلیل کدینگ ستاره

۳-۳-۴ تحلیل کدینگ ستاره کامل با اندازه‌ی ۳

تحلیل ساختار ستاره‌ی کامل با توجه به تنوع شوندها و تعداد دریافت‌هایی همه‌پخشی و تک‌پخشی پیچیده‌تر است. در واقع این پیچیدگی از افزایش تعداد حالت‌های ممکن در وضعیت دریافت‌ها ناشی می‌شود. در این بخش ساختار کدینگ شکل ۲-ب، که یکی از سه حالت موجود کدینگ ستاره‌ی کامل با اندازه‌ی ۳ است، مورد تحلیل قرار گرفته است. همانگونه که در قبل گفته شد، این ساختار محل برخورد سه نشست تک پخشی است که قرار است بسته‌های P_1 ، P_2 و P_3 را به ترتیب به گره‌های D_1 ، D_2 و D_3 برساند. الگوریتم کدینگ در مجموع شامل یک ارسال همه‌پخشی، شش ارسال تک-پخشی و پنج شنود است. در صورتیکه هر کدام از این دریافت‌ها با موفقیت همراه نباشند، تعدادی از گره‌ها قادر به کدگشایی بسته‌ی کد شده و بازبازی بسته‌ی خود نخواهند بود. به عنوان مثال اگر بسته‌ی کد شده‌ی P_1+P_3 توسط D_3 و D_1 دریافت شود ولی D_2 آنرا دریافت نکند آنگاه D_3 و D_1 در صورت شنود بسته‌های لازم قادر به کدگشایی و بازبازی بسته‌ی خود خواهند بود ولی برای D_2 چنین امری اتفاق نمی‌افتد. فرض شده است که الگوریتم کدینگ به نوعی از عدم ارسال صحیح بسته‌ها آگاهی می‌یابد. بنابراین با گم شدن یک بسته، سعی می‌کند که پردازش مربوط به کدینگ را متوقف و مابقی بسته‌ها را از طریق مسیریابی معمول به گره‌های بعدی برساند.

محاسبات با تعریف مجموعه‌ای شامل ۳۰ رویداد نظیر e_1 و e_2 که در جدول ۴ تعریف شده‌اند، به سر انجام می‌رسد. بر این اساس، متوسط N_L برابر خواهد بود با:

$$E(N_L) = \sum_{i=0}^3 i \cdot P(N_L = i) = \sum_{i=3}^7 P(e_i) + 2 \sum_{i=8}^{16} P(e_i) + 3 \sum_{i=17}^{30} P(e_i) \quad (16)$$

پخشی و شنود شش حالت متمایز قابل تشخیص است که در قالب شش رویداد e_1 تا e_6 در جدول ۲ آورده شده‌اند. این رویدادها که همانند قبل دو به دو ناسازگار هستند، بر اساس متغیرهای تصادفی نظیر \bar{N}_{D_1, D_2} ، N_{M, D_1, M, D_2} ، $N_{S_1, M, S_2, M}$ بیان شده‌اند.

به عنوان مثال e_1 به رویدادی اشاره دارد که همه دریافت‌ها و شنودها با موفقیت همراه هستند. دقت کنید که کدگشایی و بازبازی بسته‌ی مورد نظر در هر کدام از گره‌های خروجی نیازمند دریافت ارسال همه‌پخشی و شنود موفق ارسال گره ورودی مقابل است. بنابراین احتمال کدگشایی برابر با $(1 - \gamma_B)(1 - \mu)$ است. از آنجا که این مقدار در بقیه‌ی احتمالات نیز حضور دارد آنرا با متغیر x_D نشان دادیم. عدم کدگشایی می‌تواند در نتیجه عدم شنود یا عدم دریافت بسته‌ی کد شده باشد. ملاحظه کنید که احتمال تمامی رویدادها بر اساس پارامترهای γ و γ_B و x_D قابل بیان است. هم‌اکنون در موقعیتی هستیم که می‌توانیم متوسط N_L را به صورت زیر محاسبه کنیم:

$$E(N_L) = \sum_{i=0}^2 i \cdot P(N_L = i) = \sum_{i=2}^3 P(e_i) + 2 \sum_{i=4}^6 P(e_i) \quad (17)$$

نیز می‌توانیم نرخ گذردهی ساختار را به روش زیر محاسبه کنیم:

$$E(T) = \sum_1^3 e_i \cdot E(T|e_i) = \frac{2}{3}(1 - \gamma)^2 \cdot x_D^2 + \frac{1}{3}(1 - \gamma)^2 \cdot 2x_D(1 - x_D) + \frac{1}{3}2\gamma(1 - \gamma)^2 \quad (18)$$

۳-۳-۴ تحلیل کدینگ ستاره جزئی با اندازه‌ی ۲

کدینگ ستاره‌ی جزئی (شکل ۲-الف) شباهت زیادی به توپولوژی X از کدینگ COPE دارد با این تفاوت که D_2 به جای شنود از S_1 از D_1 شنود می‌کند. همانند قبل وضعیت دریافت‌های تک‌پخشی، همه‌پخشی و شنودها شش حالت متمایز را معرفی می‌کند که در قالب شش رویداد e_1 تا e_6 در جدول ۳ آورده شده‌اند. با دقت در این جدول در می‌یابیم که احتمال دو رویداد e_2 و e_4 نسبت به احتمال رویدادهای متناظر در توپولوژی X تفاوت دارد. این تفاوت از تغییر الگوی شنود D_2 ناشی می‌شود.

رویداد e_2 به حالتی اشاره دارد که بعد از ارسال بسته‌ی کد شده توسط گره مرکزی کدگشایی D_1 موفق ولی D_2 ناموفق است که احتمالی برابر با $x_D(1 - x_D)$ خواهد داشت. رویداد e_4 نیز متناظر با حالتی است که بعد از ارسال بسته‌ی کد شده از گره مرکزی D_1 قادر به کدگشایی بسته‌ی کد شده و بازبازی بسته‌ی P_2 نیست و متعاقب آن نیز D_2 قادر به کدگشایی بسته‌ی خود نخواهد بود. احتمال این رویداد در صورت ارسال بسته‌ی کد شده برابر با $(1 - x_D)$ می‌باشد. به عبارت دیگر کدگشایی D_2 وابستگی مستقیمی به کدگشایی D_1 دارد.

با توجه به رویدادهای تعریف شده، متوسط N_L را می‌توانیم به صورت زیر محاسبه کنیم:

$$E(N_L) = \sum_{i=0}^2 i \cdot P(N_L = i) = \sum_{i=2}^3 P(e_i) + 2 \sum_{i=4}^6 P(e_i) \quad (19)$$

همچنین برای نرخ گذردهی ساختار داریم:

۳- کدینگ با لحاظ کردن مکانیزم بازفرستادن

تحلیل مکانیزم بازفرستادن از نظر پهنای باند مصرفی

استاندارد IEEE 802.11 در حالت ارسال تک‌پخششی مکانیزم تأیید (ACK) را دارد [۷] که در صورتی گره گیرنده بسته را به صورت صحیح دریافت نکند، فرستنده (در نتیجه عدم دریافت تأیید) بسته را مجدداً ارسال می‌کند. دقت داشته باشید که ارسال همه‌پخششی فاقد این مکانیزم است زیرا گره گیرنده یکتا نیست که پیغام ACK را به فرستنده بدهد. همین ویژگی برای دریافت از طریق شنود نیز برقرار است زیرا نودی که در شنود یک بسته با خطا مواجه شود نمی‌تواند درخواست بازفرستادن بسته را به فرستنده بدهد. به طور خلاصه در ارسال تک‌پخششی گیرنده کنترل مکانیزم بازفرستادن بسته را در اختیار دارد. با لحاظ کردن مکانیزم بازفرستادن می‌توان فرض کرد که ارسال‌های تک‌پخششی همیشه به مقصد می‌رسند منتها با این تفاوت که پهنای باند مصرفی در حالت غیرایده‌ال از ترافیک ارسالی بیشتر خواهد بود. به عبارت دیگر پهنای باند متناسب با کاهش کیفیت لینک افزایش می‌یابد.

فرض کنید احتمال ارسال موفق روی یک لینک خاص برابر با p باشد، آنگاه متغیر تصادفی X که تعداد ارسال‌های لازم برای دریافت موفق را نشان می‌دهد متغیری با توزیع هندسی خواهد بود. بنابراین متوسط تعداد ارسال‌ها برابر است با:

$$E(X) = \sum_{i=1}^{\infty} i \cdot p(1-p)^{i-1} = \frac{1}{p} \quad (۱۷)$$

به عبارت دیگر برای ارسال یک بسته پهنای باندی به اندازه $\frac{1}{p}$ برابر حجم بسته مصرف خواهد شد. دقت کنید که از پهنای باندی که برای ارسال بسته‌های کنترل ACK مصرف می‌شود، صرف‌نظر شده است.

برای ارسال همه‌پخششی نیز مکانیزم بازفرستادن را می‌توان در نظر گرفت. این مکانیزم اولین بار در COPE در قالب شبه‌همه‌پخششی[†] پیشنهاد شده است. در نظر بگیرید که گره A می‌خواهد بسته‌ای را به دو گره B و C به صورت همه‌پخششی ارسال کند. احتمال ارسال موفق روی لینکهای (A,B) و (A,C) را به ترتیب p_1 و p_2 فرض کنید. فرض کنید مکانیزم بازفرستادن نیز لحاظ شده است به این معنی که گره A در صورت عدم دریافت تأیید از هر یک از گره‌های B و C، بسته را مجدداً ارسال می‌کند. فرض کنید متغیر تصادفی $X_{B,C}$ نشان‌دهنده‌ی تعداد ارسال‌های لازم برای دریافت موفق بسته از طرف B و C باشد. برای احتمال $X_{B,C}$ می‌توان نوشت:

$$\begin{aligned} P(X_{B,C} = i) &= P(\max(X_B, X_C) = i) \\ &= P(X_B = i | X_C < i) \\ &\quad + P(X_C = i | X_B < i) \\ &\quad + P(X_B = X_C = i) = p_1(1-p_1)^{i-1} \\ &\quad + p_2(1-p_2)^{i-1} - (p_1 + p_2 \\ &\quad - p_1 p_2)(1-p_1)^{i-1}(1-p_2)^{i-1} \end{aligned} \quad (۱۸)$$

بنابراین برای متغیر تصادفی $X_{B,C}$ می‌توان برابری زیر را نوشت:

$$X_{B,C} = X_B + X_C - X_{\overline{B}\overline{C}} \quad (۱۹)$$

که $X_{\overline{B}\overline{C}}$ توزیع هندسی با احتمال $(1-p_1)(1-p_2)$ دارد. در نتیجه برای متوسط تعداد ارسال‌های لازم، $E(X_{B,C})$ می‌توان نوشت [۸]:

$$E(X_{B,C}) = \frac{1}{p_1} + \frac{1}{p_2} - \frac{1}{1-(1-p_1)(1-p_2)} \quad (۲۰)$$

به طریق مشابه می‌توان ثابت کرد که متوسط تعداد ارسال همه‌پخششی به n گره A_1, A_2, \dots, A_n که به ترتیب احتمال دریافتی برابر p_1, p_2, \dots, p_n دارند برابر است با:

$$E(X_{A_1, A_2, \dots, A_n}) = \sum_{m=1}^n \sum_{1 \leq i_1 < i_2 < \dots < i_m \leq n} \frac{(-1)^{m+1}}{1 - \prod_{k=1}^m (1-p_{i_k})} \quad (۲۱)$$

جهت سادگی در تحلیل، تابع N_{Bcast} را به صورت متوسط تعداد ارسال‌های لازم برای همه‌پخششی یک بسته به n به صورت زیر تعریف می‌کنیم:

$$N_{Bcast}(p_1, p_2, \dots, p_n) = E(X_{A_1, A_2, \dots, A_n}) \quad (۲۲)$$

تحلیل ساختارهای کدینگ

برای مسیریابی معمول در یک ساختار دوگامی می‌بایست ۴ ارسال موفق صورت گیرد بنابراین تعداد ارسال‌های لازم برای کانال با خطای γ برابر است با:

$$N_{route-2hop} = 4N_{Ucast}(\gamma) = \frac{4}{1-\gamma} \quad (۲۳)$$

برای ساختار آلیس-باب، دو ارسال تک‌پخششی و یک ارسال همه‌پخششی موفق لازم است. بنابراین می‌توان نوشت:

$$\begin{aligned} N_{COPE-AB} &= 2N_{Ucast}(\gamma) + N_{Bcast}(\gamma, \gamma) \\ &= \frac{4}{1-\gamma} - \frac{1}{1-\gamma^2} \end{aligned} \quad (۲۴)$$

برای توپولوژی X کدینگ COPE دو ارسال تک‌پخششی همراه با شنود لازم است. یعنی علاوه بر رسیدن بسته به نود مرکزی، شنود آن نیز می‌بایست توسط نود متناظر انجام گیرد. با فرض اینکه نود شنود کننده موفقیت یا عدم موفقیت در شنود را به گونه‌ای به فرستنده منعکس کند (به عنوان مثال از طریق مکانیزم Reception Report در COPE)، می‌توان این ارسال را نیز معادل یک همه‌پخششی با دو گیرنده در نظر گرفت. بنابراین:

$$\begin{aligned} N_{COPE-X} &= 2N_{Bcast}(\gamma, \mu) + N_{Bcast}(\gamma, \gamma) \\ &= \frac{4}{1-\gamma} + \frac{1}{1-\mu} - \frac{1}{1-\gamma^2} \\ &\quad - \frac{1}{1-\mu\gamma} \end{aligned} \quad (۲۵)$$

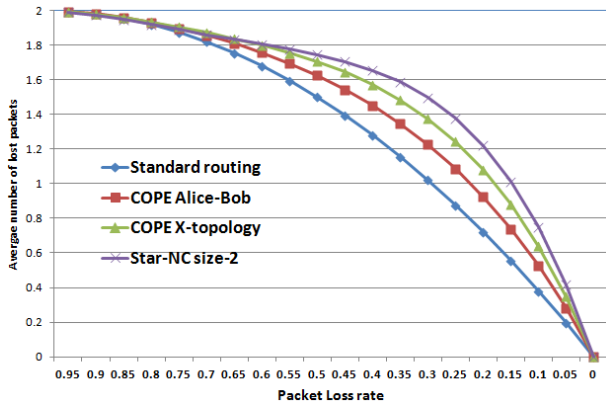
که μ نرخ عدم شنود موفق یک بسته می‌باشد.

برای ساختار ستاره‌ی جزئی دو گامی، نیز دو ارسال تک‌پخششی همراه شنود، یک ارسال همه‌پخششی به علاوه یک ارسال تک‌پخششی دیگر در نود خروجی که می‌بایست توسط نود D_2 شنود شود نیاز است. بنابراین:

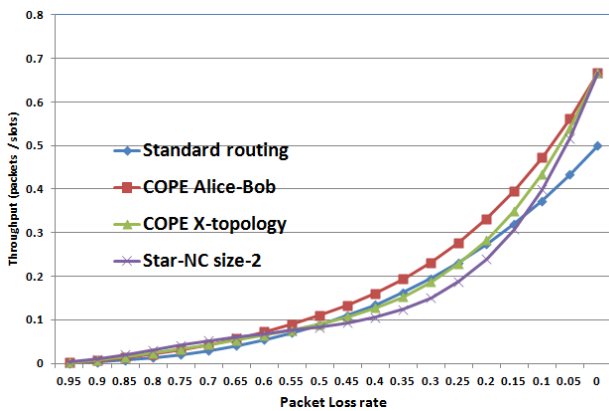
$$\begin{aligned} N_{Star-2} &= 2N_{Bcast}(\gamma, \mu) + N_{Bcast}(\gamma, \gamma) \\ &\quad + (N_{Bcast}(\gamma, \mu) - N_{Ucast}(\gamma)) \\ &= \frac{4}{1-\gamma} + \frac{3}{1-\mu} - \frac{1}{1-\gamma^2} \\ &\quad - \frac{1}{1-\mu\gamma} \end{aligned} \quad (۲۶)$$

[†] Pseudue broadcast

تفاوت تعداد شوندهای موفق آنها دانست. در حالیکه توپولوژی X نیاز به دو شونده موفق دارد، این تعداد در ساختار ستاره‌ی جزئی به عدد سه می‌رسد.



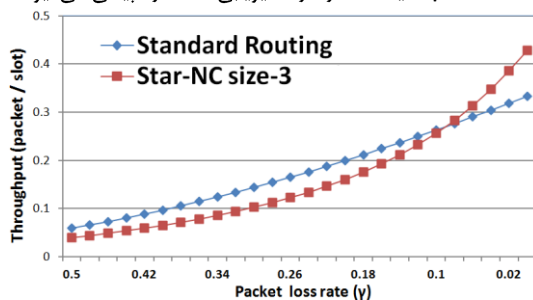
الف- متوسط تعداد بسته‌های گمشده



ب- نرخ گذردهی بر اساس تعداد بسته در واحد زمان

شکل ۳) مقایسه ساختارهای کدینگ دو گامی با مسیریابی استاندارد

وضعیت برای ساختار ستاره کامل که تعداد شوندهای بیشتری دارد، از ساختارهای دو گامی بدتر است. با مراجعه به نتایج شکل ۴ درمی‌یابیم که حساسیت ساختار ستاره کامل نسبت به کیفیت دریافتها از تمامی ساختارهای قبلی بیشتر است به گونه‌ای که برای کانال خطا دار با $\gamma \geq 0.1$ عملکرد مسیریابی معمول بهتر از کدینگ است. در واقع تعداد بالای شوندها (۵ عدد) و همچنین تعداد دریافت کنندگان ترافیک همه‌پخش (۳ گره) موجب افت کارایی در حالت ارسال با خطا شده است. با اینحال می‌بینیم که با افزایش کیفیت ارسالها، تفاوت عملکرد بین مسیریابی و کدینگ کمتر می‌شود و نهایتاً در نقطه‌ی $\gamma = 0.09$ کدینگ ستاره از مسیریابی استاندارد پیشی می‌گیرد.



شکل ۴) نرخ گذردهی کدینگ ستاره کامل ۳ گامی با مسیریابی استاندارد

برای ساختار ستاره کامل ۳ گامی نیاز به یک ارسال تک‌پخش با دو شونده (S_1)، سه ارسال تک‌پخش با یک شونده (S_2 ، S_3 و D_1)، یک همه‌پخش با سه گیرنده (M) و دو ارسال تک‌پخش (D_2 و D_3) نیاز است. بنابراین:

$$\begin{aligned} N_{Star-3} &= N_{Bcast}(\gamma, \mu, \mu) + N_{Bcast}(\gamma, \gamma, \gamma) \\ &+ 3N_{Bcast}(\gamma, \mu) \\ &+ 2N_{Ucast}(\gamma) \\ &= \frac{9}{1-\gamma} + \frac{5}{1-\mu} - \frac{5}{1-\gamma\mu} \quad (27) \\ &- \frac{1}{1-\mu^2} - \frac{1}{1-\gamma^2} \\ &+ \frac{1}{1-\gamma\mu^2} + \frac{1}{1-\gamma^3} \end{aligned}$$

این در حالیتیست که مسیریابی معمول در این ساختار به ۹ ارسال تک‌پخش نیاز دارد. از اینرو:

$$N_{route-3hop} = 9N_{Ucast}(\gamma) = \frac{9}{1-\gamma} \quad (28)$$

۴- ارزیابی

کدینگ بدون مکانیزم بازفرستادن

در تحلیل‌های انجام گرفته مسیریابی معمول تنها به پارامتر γ وابستگی دارد. در حالیکه با بهره‌گیری از فرصتهای کدینگ و در نتیجه امکان تولید ترافیک همه‌پخش پارامتر γ_B نیز در محاسبات وارد می‌شود. همچنین در ساختارهای کدینگ مبتنی بر شونده پارامتر μ نیز در نتایج تحلیل پدیدار می‌شود. در این بخش سعی شده است که کارایی هر یک از الگوریتم‌های کدینگ در مقایسه با مسیریابی استاندارد به ازای مقادیر مختلف γ ، μ و γ_B بررسی شود.

برای ارائه‌ی یک مقایسه کمی فرض کرده‌ایم که μ و γ_B برابر با γ باشند. با این فرض، نتایج برای ساختارهای آلیس-باب و X از کدینگ COPE و ستاره جزئی در شکل ۳ و بر اساس تغییرات $0 \leq \gamma \leq 0.95$ نشان شده است. مشاهده می‌شود که متوسط بسته‌های مفقودی در حالت کدینگ بیشتر از مسیریابی معمول است. در بین ساختارهای کدینگ نیز این متوسط برای ساختار آلیس-باب کمترین و ساختار ستاره‌ی جزئی دوگامی بیشترین مقدار است و ساختار X بین این دو قرار می‌گیرد. به طور خلاصه می‌توان گفت با افزایش تعداد همه‌پخش و شوندها، متوسط میزان گم شدن بسته‌ها اضافه می‌شود.

در مقابل در شکل ۳-ب مشاهده می‌شود که نرخ گذردهی در حالت کدینگ با توجه به نوع ساختار و مقدار خطا نسبت به مسیریابی می‌تواند بهبود داشته باشد. اولین نتیجه این است که ساختار آلیس-باب به ازای هر مقدار خطا نرخ گذردهی بیشتری از مسیریابی و سایر ساختارهای کدینگ استاندارد دارد.

این در حالیتیست که توپولوژی X به ازای خطای $0.25 \leq \gamma \leq 0.45$ و ساختار ستاره‌ی جزئی به ازای خطای $0.15 \leq \gamma \leq 0.5$ عملکردی ضعیف‌تر از مسیریابی استاندارد به لحاظ نرخ گذردهی دارند. اگر خطاهای نرخ بالاتر از 0.5 را در نظر بگیریم می‌توانیم بگوییم که کارایی ساختار توپولوژی X برای $\gamma < 0.25$ و ساختار ستاره جزئی برای $\gamma < 0.15$ عملکردی بهتر از مسیریابی معمول بهتر می‌شود. تفاوت بین این دو ساختار را می‌توان ناشی از

۵ خلاصه و نتیجه گیری

در این مقاله تحلیلی برای ساختارهای کدینگ COPE و ستاره در حالت ارسال نامطمئن ارائه شد. این تحلیل برای دو حالت با و بدون لحاظ شدن مکانیزم بازفرستادن MAC انجام گرفت. نتایج هر دو تحلیل حاکی از این است که کدینگ آیس-باب با هر کیفیت کانالی عملکرد بهتری به لحاظ نرخ گذردهی ایجاد می کند. سایر ساختارهای کدینگ برای اینکه عملکرد بهتری نسبت به مسیریابی داشته باشند، می بایست بسته به نوع ساختار خطای کانالی کمتر از ۰.۵ تا ۰.۱ داشته باشند.

دقت کنید که در این مقاله تمرکز تنها بر شبکه‌ای متشکل از یک ساختار کدینگ بود. تحلیل شبکه‌ای متشکل از چندین ساختار کدینگ نیاز به چارچوب تئوری جامع‌تری دارد که ما آنرا به عنوان یک کار مستقل انجام داده و به همین کنفرانس ارائه کرده ایم.

۶ مراجع

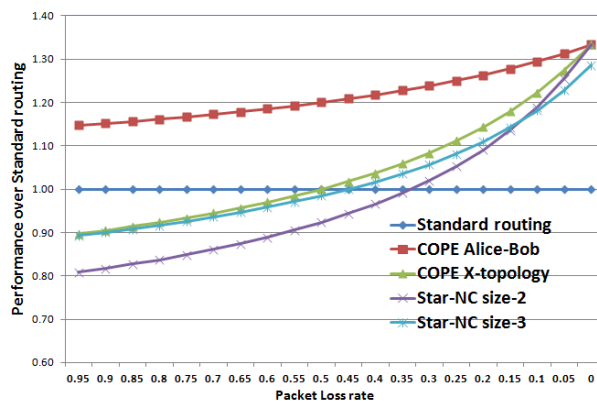
- [1] Ahlswede, R., Cai, N., Li, S. Y., & Yeung, R. W., "Network information flow." *Information Theory, IEEE Transactions on* 46, no. 4 (2000): 1204-1216. *IEEE Transactions on Information Theory*, vol. 46, no. 1, pp 1204-1216, 2000.
- [2] Katti, S., Rahul, H., Hu, W., Katabi, D., Médard, M., & Crowcroft, J., "XORs in the air: practical wireless network coding.", *ACM SIGCOMM 2006*, September 2006. *IEEE/ACM Trans. Networking*, vol. 16, pp. 497-510, June 2008.
- [3] Sengupta, S., Rayanchu, S. and Banerjee, S., "An analysis of wireless network coding for unicast sessions: The case for coding-aware routing." In *INFOCOM 2007. 26th IEEE International Conference on Computer Communications*. pp. 1028-1036.
- [4] Dikaliotis, Theodoros K., et al. "On the delay advantage of coding in packet erasure networks." *Information Theory, IEEE Transactions on* 60.5 (2014): 2868-2883.
- [5] Khreishah, Abdallah, et al. "Flow-based xor network coding for lossy wireless networks." *Wireless Communications, IEEE Transactions on* 11.6 (2012): 2321-2329.
- [6] Shafieinejad, A., Hendessi, F. and Fekri, F., "Star-Structure Network Coding for Multiple Unicast Sessions in Wireless Mesh Networks," *Springer Wireless personal communications*, Vol.72, 2013, No.4, 2185-2214.
- [7] <http://standards.ieee.org/getieee802/download/802.11-2007.pdf>,
- [13] IEEE 802.11: *Wireless LAN Medium Access Control (MAC) and Physical Layer (PHY) Specifications*. (2007 revision). IEEE-SA. 12 June 2007.
- [8] Nguyen, Dong, et al. "Wireless broadcast using network coding." *Vehicular Technology, IEEE Transactions on* 58.2 (2009): 914-925.
- [9] Zhang, H. Su and X., "Modeling Throughput Gain of Network Coding in Multi-Channel Multi-Radio Wireless Ad Hoc Networks", 5, June 2009, *International Journal of Selected Area in Communications*, Vol. 27.
- [10] Wang, Chih-Chun. "On the capacity of wireless 1-hop intersession network coding—a broadcast packet erasure channel approach." *Information Theory, IEEE Transactions on* 58.2 (2012): 957-988.
- [11] Ghaderi, Majid, Don Towsley, and Jim Kurose. "Reliability gain of network coding in lossy wireless networks." *INFOCOM 2008. The 27th Conference on Computer Communications*, 2008.

نکته‌ی قابل توجه در تحلیل‌های انجام شده این است که، در تمامی ساختارها، متوسط بسته‌های گم شده در طی فرآیند کدینگ از مسیریابی استاندارد بیشتر است. این امر پیش‌تر به طور شهودی نیز قابل حدس بود زیرا عدم دریافت بسته‌ی کد شده یا بسته‌ی شنودی علاوه بر اینکه گره مورد نظر را از کدگشایی و بازیابی بسته‌ی دلخواه وامی‌دارد، باعث می‌شود گره‌های وابسته نیز نتوانند فرآیند کدگشایی را با موفقیت طی کنند. اما به لحاظ نرخ گذردهی، حالت کدینگ به خاطر کاهش تعداد کلی ارسال‌ها نرخ گذردهی بهتری (برای مقادیر مناسب γ بسته به ساختار) نسبت به مسیریابی استاندارد ارائه می‌کند.

کدینگ با مکانیزم بازفرستادن

با لحاظ مکانیزم بازفرستادن MAC بسته‌ها همیشه به مقصد می‌رسند با این تفاوت که بسته به میزان خطا تعداد ارسال‌ها اضافه می‌شوند یا به عبارت دیگر پهنای باند بیشتری برای ارسال لازم می‌شود.

برای مقایسه دقیق‌تر، نتایج به صورت نرمال شده نسبت به مسیریابی استاندارد در شکل ۵ نشان شده است. همانند بخش قبل مشاهده می‌شود که کدینگ آیس-باب در هر حالت از مسیریابی استاندارد عملکرد بهتری دارد. با این تفاوت که کارایی آن برای خطای بالا حدود ۱۵٪ و برای خطای پایین نزدیک به ۳۳٪ است. سایر ساختارهای کدینگ برای خطای بالا عملکرد ضعیف‌تری نسبت به مسیریابی دارند. به بیان دقیق‌تر، توپولوژی X کدینگ COPE برای خطای $0.5 < \gamma$ ، کدینگ ستاره جزئی برای خطای $0.35 < \gamma$ و کدینگ ستاره کامل برای خطای $0.45 < \gamma$ عملکرد بهتری نسبت به مسیریابی استاندارد دارند. ساختارهای کدینگ دوگامی برای کانال ایده‌آل ۳۳٪ و کدینگ سه‌گامی ۲۹٪ بهتر از مسیریابی عمل می‌کنند. به عنوان یک نتیجه کلی، برای خطای $0.1 < \gamma$ تمامی ساختارهای کدینگ بهبود بالای ۲۰٪ را ارائه می‌کنند.



شکل ۵- کارایی کدینگ ساختارهای کدینگ نسبت به مسیریابی استاندارد

جدول ۱) رویدادهای دو به دو ناسازگار در ساختار کدینگ آلیس-بیب

N_L	event	Conditions	Probability
0	e_1	$N_{S_1,M,S_2,M} = 0, N_{M,D_1,M,D_2} = 0$	$(1-\gamma)^2 \cdot (1-\gamma_B)^2$
1	e_2	$N_{S_1,M,S_2,M} = 0, N_{M,D_1,M,D_2} = 1$	$(1-\gamma)^2 \cdot 2\gamma_B(1-\gamma_B)$
	e_3	$N_{S_1,M,S_2,M} = 1, N_{M,D_1,M,D_2} = 0$	$2\gamma(1-\gamma) \cdot (1-\gamma)$
2	e_4	$N_{S_1,M,S_2,M} = 0, N_{M,D_1,M,D_2} = 2$	$(1-\gamma)^2 \cdot \gamma_B^2$
	e_5	$N_{S_1,M,S_2,M} = 1, N_{M,D_1,M,D_2} = 1$	$2\gamma(1-\gamma) \cdot \gamma$
	e_6	$N_{S_1,M,S_2,M} = 2$	γ^2

جدول ۲) رویدادهای دو به دو ناسازگار در توپولوژی X از کدینگ COPE (با فرض $(\alpha_D = (1-\gamma_B)(1-\mu))$)

N_L	event	Conditions	Probability
0	e_1	$N_{S_1,M,S_2,M} = 0, \bar{N}_{D_1,D_2} = N_{M,D_1,M,D_2} = 0$	$(1-\gamma)^2 \cdot x_D^2$
1	e_2	$N_{S_1,M,S_2,M} = 0, (\bar{N}_{D_1} + N_{M,D_1} = 0 \cup \bar{N}_{D_2} + N_{M,D_2} = 0) \cap \bar{N}_{D_1,D_2} + N_{M,D_1,M,D_2} \neq 0$	$(1-\gamma)^2 \cdot 2x_D(1-x_D)$
	e_3	$N_{S_1,M,S_2,M} = 1, N_{M,D_1,M,D_2} = 1$	$2\gamma(1-\gamma) \cdot (1-\gamma)$
2	e_4	$N_{S_1,M,S_2,M} = 0, \bar{N}_{D_1} + N_{M,D_1} \neq 0 \cap \bar{N}_{D_2} + N_{M,D_2} \neq 0$	$(1-\gamma)^2 \cdot (1-x_D)^2$
	e_5	$N_{S_1,M,S_2,M} = 1, N_{M,D_1,M,D_2} = 2$	$2\gamma(1-\gamma) \cdot \gamma$
	e_6	$N_{S_1,M,S_2,M} = 2$	γ^2

جدول ۳) رویدادهای مجزا در کدینگ ستاره‌ی جزئی با اندازه‌ی ۲

N_L	event	Conditions	Probability
0	e_1	$N_{S_1,M,S_2,M} = 0, \bar{N}_{D_1,D_2} = N_{M,D_1,M,D_2} = 0$	$(1-\gamma)^2 \cdot x_D^2$
1	e_2	$N_{S_1,M,S_2,M} = 0, \bar{N}_{D_1} + N_{M,D_1} = 0, \bar{N}_{D_2} + N_{M,D_2} \neq 0$	$(1-\gamma)^2 \cdot x_D(1-x_D)$
	e_3	$N_{S_1,M,S_2,M} = 1, N_{M,D_1,M,D_2} = 1$	$2\gamma(1-\gamma) \cdot (1-\gamma)$
2	e_4	$N_{S_1,M,S_2,M} = 0, \bar{N}_{D_1} + N_{M,D_1} \neq 0$	$(1-\gamma)^2 \cdot (1-x_D)$
	e_5	$N_{S_1,M,S_2,M} = 1, N_{M,D_1,M,D_2} = 1$	$2\gamma(1-\gamma) \cdot \gamma$
	e_6	$N_{S_1,M,S_2,M} = 2$	γ^2

جدول ۴) رویدادهای دو به دو مجزا برای مقادیر مختلف N_L با فرض

N_L	event	Conditions	probability
0	e_1	$N_{S_1,M,S_2,M,S_3,M} = 0, \bar{N}_{S_2,S_3} = 0, N_{M,D_1,M,D_2,M,D_3} = 0$	$(1-\gamma)^3 \cdot (1-\mu)^2 \cdot (1-x_T)^3$
	e_2	$N_{S_1,M,S_2,M,S_3,M} = 0, \bar{N}_{S_2,S_3} \neq 0, N_{M,D_1,M,D_2,M,D_3} = 0$	$(1-\gamma)^3 \cdot \mu_2 \cdot (1-\gamma)^2(1-x_T)^2$
1	e_3	$N_{S_1,M,S_2,M,S_3,M} = 0, \bar{N}_{S_2,S_3} = 0, N_{M,D_2,M,D_3} = 1$	$(1-\gamma)^3 \cdot (1-\mu)^2 \cdot 2x_T(1-x_T)^2$
	e_4	$N_{S_1,M,S_2,M,S_3,M} = 0, \bar{N}_{S_2,S_3} \neq 0, N_{M,D_2,M,D_3} = 1$	$(1-\gamma)^3 \cdot \mu_2 \cdot [x_T(1-x_T)(1-\gamma)^2 + (1-x_T)^2\gamma_2]$
	e_5	$N_{S_1,M} = 1, N_{S_2,M,S_3,M} = 0, \bar{N}_{S_2} = 1, N_{M,D_1,M,D_3} = 0$	$\gamma(1-\gamma)^2 \cdot \mu \cdot (1-\gamma)^4$
	e_6	$N_{S_1,M,S_3,M} = 0, N_{S_2,M} = 1, \bar{N}_{S_2,S_3} \neq 0, N_{M,D_1,M,D_2} = 0$	$\gamma(1-\gamma)^2 \cdot \mu_2 \cdot (1-x_T)^2$
	e_7	$N_{S_1,M,S_2,M} = 0, N_{S_3,M} = 1, N_{M,D_2,M,D_3} = 0$	$\gamma(1-\gamma)^2 \cdot (1-\gamma)^4$
	e_8	$N_{S_1,M,S_2,M,S_3,M} = 0, \bar{N}_{S_2,S_3} = 0, N_{M,D_1} = 1 \cup N_{M,D_2,M,D_3} = 2$	$(1-\gamma)^3 \cdot (1-\mu)^2 \cdot [x_T(1-x_T) + x_T^2(1-x_T)]$
	e_9	$N_{S_1,M,S_2,M,S_3,M} = 0, \bar{N}_{S_2,S_3} \neq 0, N_{M,D_1} = 1 \cup N_{M,D_2,M,D_3} = 2$	$(1-\gamma)^3 \cdot \mu_2 \cdot [x_T(1-\gamma)^2 + x_T(1-x_T)\gamma_2]$
2	e_{10}	$N_{S_1,M} = 1, N_{S_2,M,S_3,M} = 0, \bar{N}_{S_2} = 1, N_{M,D_1,M,D_3} = 1$	$\gamma(1-\gamma)^2 \cdot \mu \cdot 2\gamma_2(1-\gamma_2)$
	e_{11}	$N_{S_1,M,S_3,M} = 0, N_{S_2,M} = 1, \bar{N}_{S_2,S_3} \neq 0, N_{M,D_1,M,D_2} = 1$	$\gamma(1-\gamma)^2 \cdot \mu_2 \cdot (1-x_T)x_T$
	e_{12}	$N_{S_1,M,S_2,M} = 0, N_{S_3,M} = 1, N_{M,D_2,M,D_3} = 1$	$\gamma(1-\gamma)^2 \cdot 2\gamma_2(1-\gamma_2)$
	e_{13}	$N_{S_1,M} = 1, N_{S_2,M,S_3,M} = 0, \bar{N}_{S_2} = 0, N_{M,D_1,M,D_3} = 0$	$\gamma(1-\gamma)^2 \cdot (1-\mu) \cdot (1-\gamma_2)$
	e_{14}	$N_{S_1,M,S_3,M} = 0, N_{S_2,M} = 1, \bar{N}_{S_2,S_3} \neq 0, N_{M,D_1,M,D_2} = 0$	$\gamma(1-\gamma)^2 \cdot (1-\mu_2) \cdot (1-\gamma_2)$
	e_{15}	$N_{S_1,M} = 0, N_{S_2,M,S_3,M} = 2, N_{M,D_2} = 0$	$(1-\gamma)\gamma^2 \cdot (1-\gamma_2)$
	e_{16}	$N_{S_1,M,S_3,M} = 2, N_{S_2,M} = 0, \bar{N}_{S_2} = 1, N_{M,D_3} = 0$	$(1-\gamma)\gamma^2 \cdot \mu \cdot (1-\gamma_2)$
	e_{17}	$N_{S_1,M,S_2,M} = 2, N_{S_3,M} = 0, \bar{N}_{S_2,S_3} \neq 0, N_{M,D_1} = 0$	$(1-\gamma)\gamma^2 \cdot \mu_2 \cdot (1-\gamma_2)$
	e_{18}	$N_{S_1,M,S_2,M,S_3,M} = 0, \bar{N}_{S_2,S_3} = 0, N_{M,D_1,M,D_3} = 2$	$(1-\gamma)^3 \cdot (1-\mu)^2 \cdot x_T^2$
	e_{19}	$N_{S_1,M,S_2,M,S_3,M} = 0, \bar{N}_{S_2,S_3} \neq 0, N_{M,D_1,M,D_3} = 2$	$(1-\gamma)^3 \cdot \mu_2 \cdot \gamma_2 \cdot x_T$
3	e_{20}	$N_{S_1,M} = 1, N_{S_2,M,S_3,M} = 0, \bar{N}_{S_2} = 1, N_{M,D_1,M,D_3} = 2$	$\gamma(1-\gamma)^2 \cdot \mu \cdot \gamma_2^2$
	e_{21}	$N_{S_1,M,S_3,M} = 0, N_{S_2,M} = 1, \bar{N}_{S_2,S_3} \neq 0, N_{M,D_1,M,D_2} = 2$	$\gamma(1-\gamma)^2 \cdot \mu_2 \cdot x_T$
	e_{22}	$N_{S_1,M,S_2,M} = 0, N_{S_3,M} = 1, N_{M,D_2,M,D_3} = 2$	$\gamma(1-\gamma)^2 \cdot \gamma_2^2$
	e_{23}	$N_{S_1,M} = 1, N_{S_2,M,S_3,M} = 0, \bar{N}_{S_2} = 0, N_{M,D_1,M,D_3} = 1$	$\gamma(1-\gamma)^2 \cdot (1-\mu) \cdot \gamma_2$
	e_{24}	$N_{S_1,M,S_3,M} = 0, N_{S_2,M} = 1, \bar{N}_{S_2,S_3} \neq 0, N_{M,D_1,M,D_2} = 1$	$\gamma(1-\gamma)^2 \cdot (1-\mu_2) \cdot \gamma_2$
	e_{25}	$N_{S_1,M} = 0, N_{S_2,M,S_3,M} = 2, N_{M,D_2} = 1$	$(1-\gamma)\gamma^2 \cdot \gamma_2$
	e_{26}	$N_{S_1,M,S_3,M} = 2, N_{S_2,M} = 0, \bar{N}_{S_2} = 1, N_{M,D_3} = 1$	$(1-\gamma)\gamma^2 \cdot \mu \cdot \gamma_2$
	e_{27}	$N_{S_1,M,S_2,M} = 2, N_{S_3,M} = 0, \bar{N}_{S_2,S_3} \neq 0, N_{M,D_1} = 1$	$(1-\gamma)\gamma^2 \cdot \mu_2 \cdot \gamma_2$
	e_{28}	$N_{S_1,M,S_3,M} = 2, N_{S_2,M} = 0, \bar{N}_{S_2} = 0$	$(1-\gamma)\gamma^2 \cdot (1-\mu)$
	e_{29}	$N_{S_1,M,S_2,M} = 2, N_{S_3,M} = 0, \bar{N}_{S_2,S_3} = 0$	$(1-\gamma)\gamma^2 \cdot (1-\mu_2)$
	e_{30}	$N_{S_1,M,S_2,M,S_3,M} = 3$	γ^3